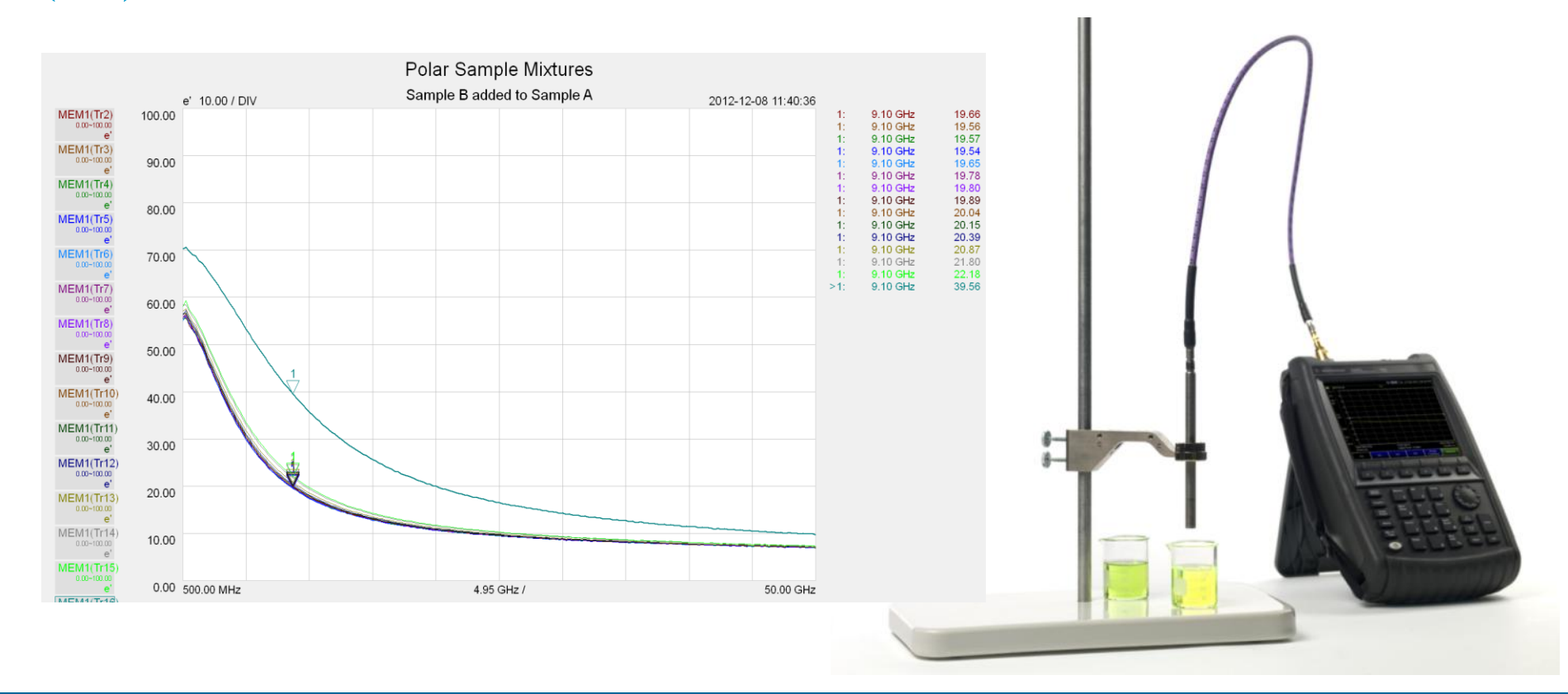
Электромагнитные свойства материалов

Патшин Александр

Alexander_patshin@agilent.com

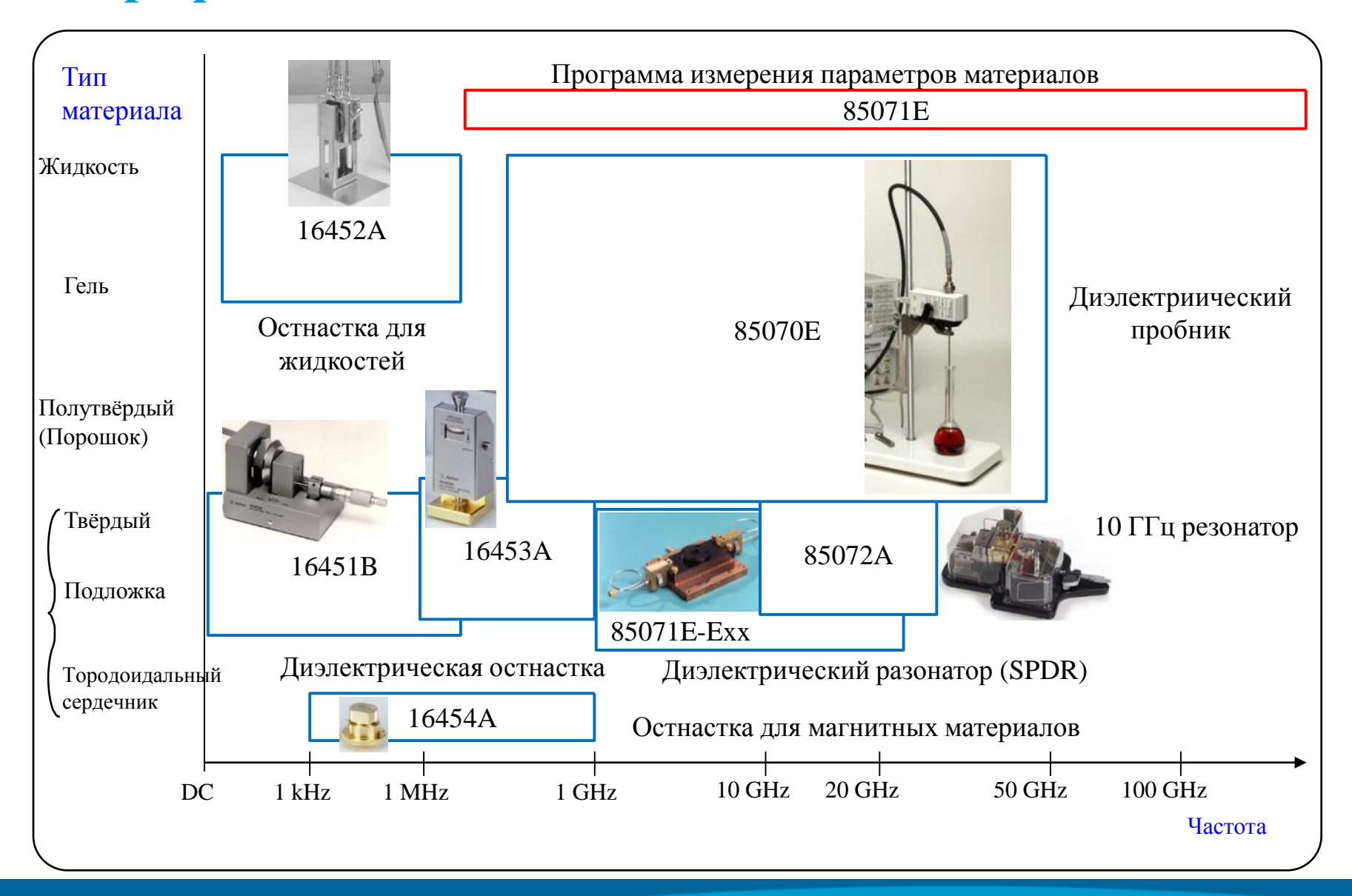
(495)797-39-55



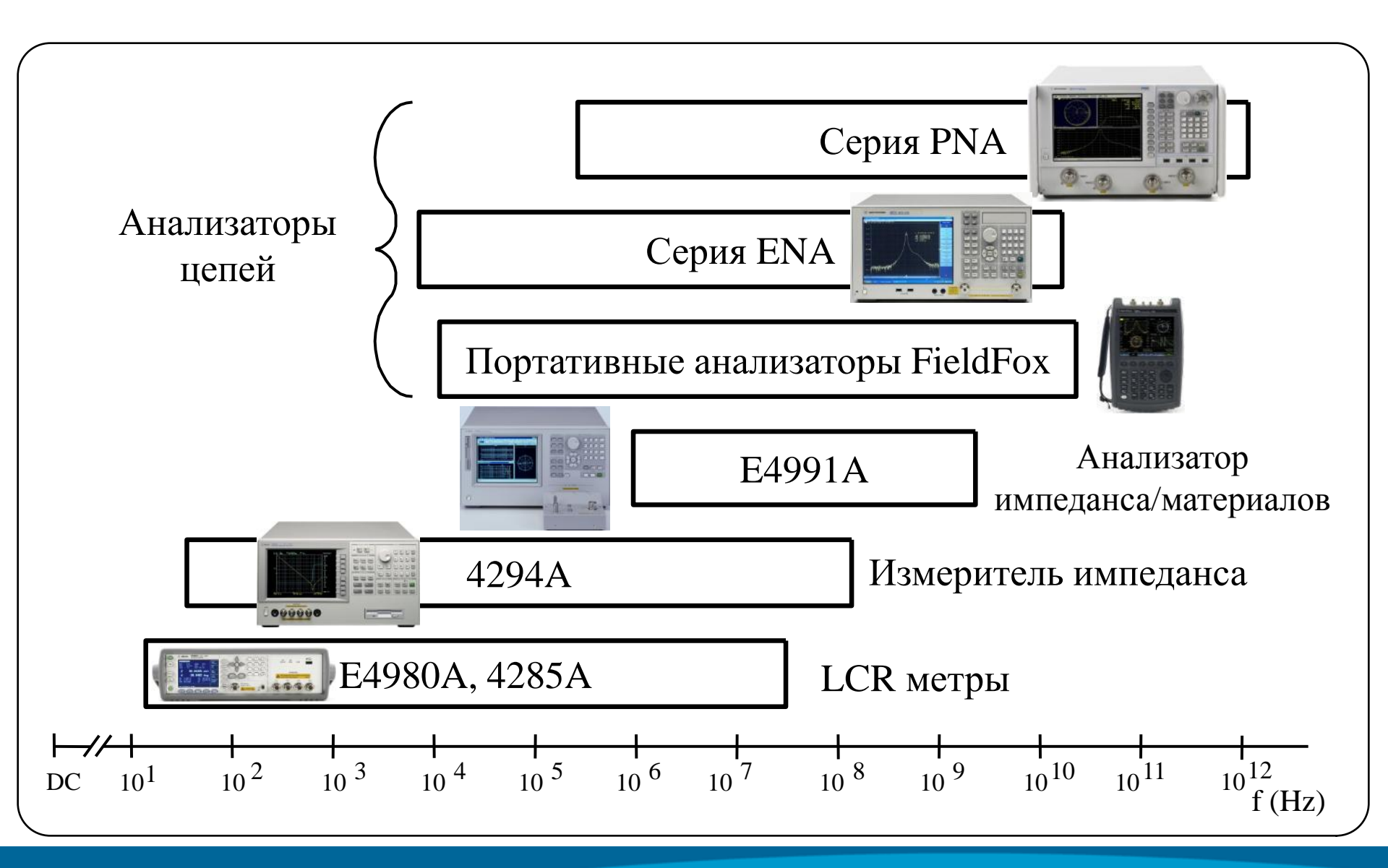
Сферы применения анализа ПМ

Сфера	Приложения / Продукты
Электроника	Конденсаторы, подложки, печатные платы, антенны, ферриты, головки магнитной записи, датчики
Космос/Оборона	Стелс, радиопоглощающие материалы
Промышленные материалы	Керамика и композиты: корпуса ИС, aerospace and automotive компоненты для аэрокосмической и оборонной отрасли, цемент, покрытия, биоимплантанты Полимеры и пластики: волокно, подложки, ленты, изоляционные материалы Гидрогели: подгузники, магкие контактные линзы Жидкие кристаллы: дисплеи Резина, полупроводники и сверхпроводники Другие материалы: шины, краска, клеи, итд.
Пищевая промышленность	Сохранение продуктов, упаковка, измерения влажности
Добывающая пром.	Влажность бумаги/дерева, анализ содержания нефти
Фармакология и медицина	Исследование и производство лекарств, биоимплантанты, исследование тканей человека, биомасса, измерение концентрации ферментов

Портфолио остнастки



Измерительные приборы Agilent



Анализатор цепей серии ENA E5063A



Оптимален для тестирования пассивных компонентов

- от 100кГц до 4.5 / 8.5 / 18ГГц
- 2-порта S-параметры, импеданс 50 Ом
- Динамический диапазон 117 дБ
- Мастер измерений для PCB TDR
- Поддержка приложений 85070/71Е
- Низкая цена (более 30% ниже E5071C)
- Цены доступны с 1 января, 2014



Материалы

Типовые применения:





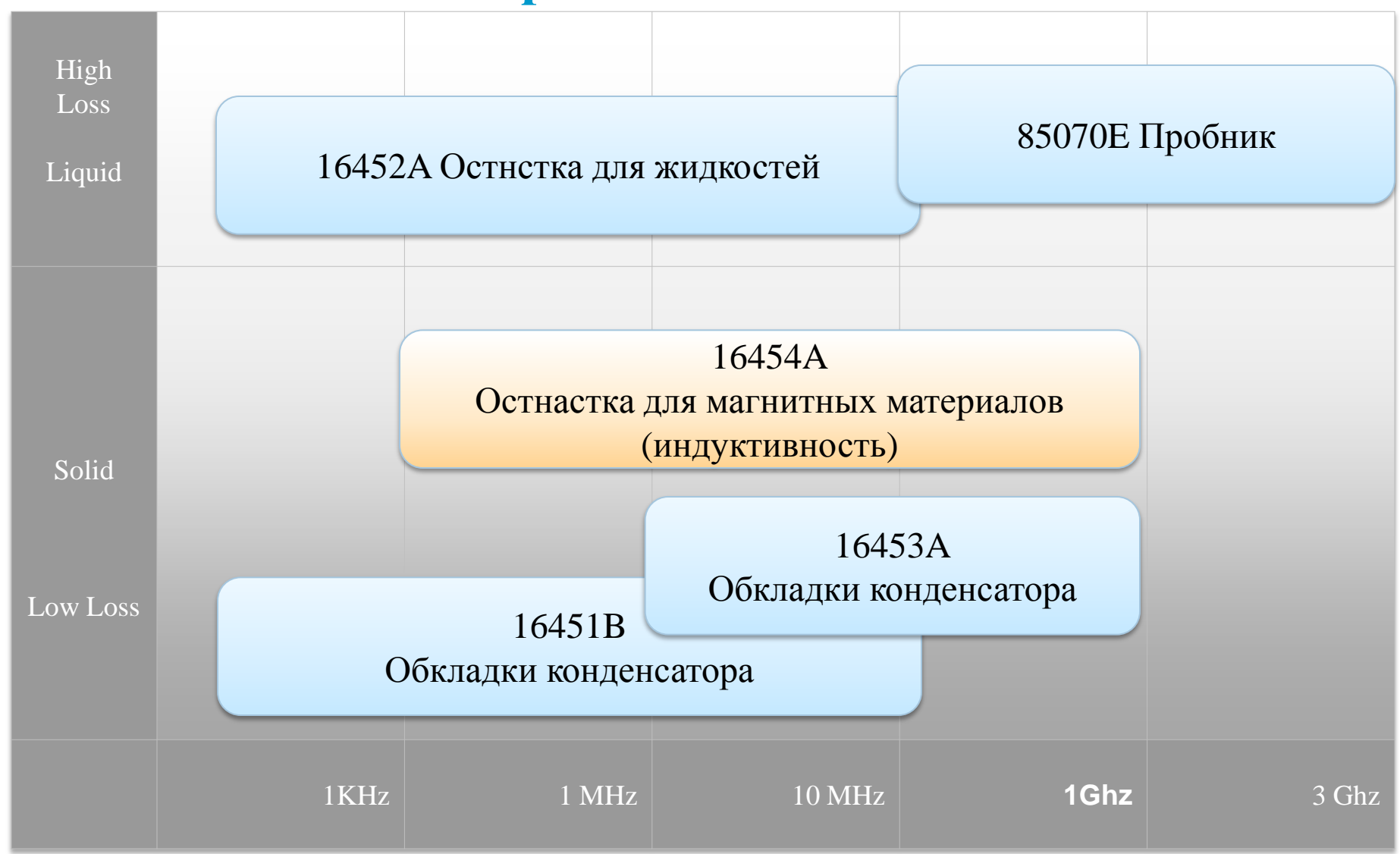
Печатные платы

Так много решений! Какое лучше?

Это зависит ... от:

- Интересующих частот
- Формы материала (жидкость, порошок, твёрд, лист)
- Ожидаемого значения $\varepsilon_{\rm r}$ и $\mu_{\rm r}$
- Требуемой точности
- Свойств материала (анизотропное, изотропное)
- Ограничений на размер образца
- Разрушающий или неразрушающий контроль
- Контактный или бесконтактный метод
- Температуры

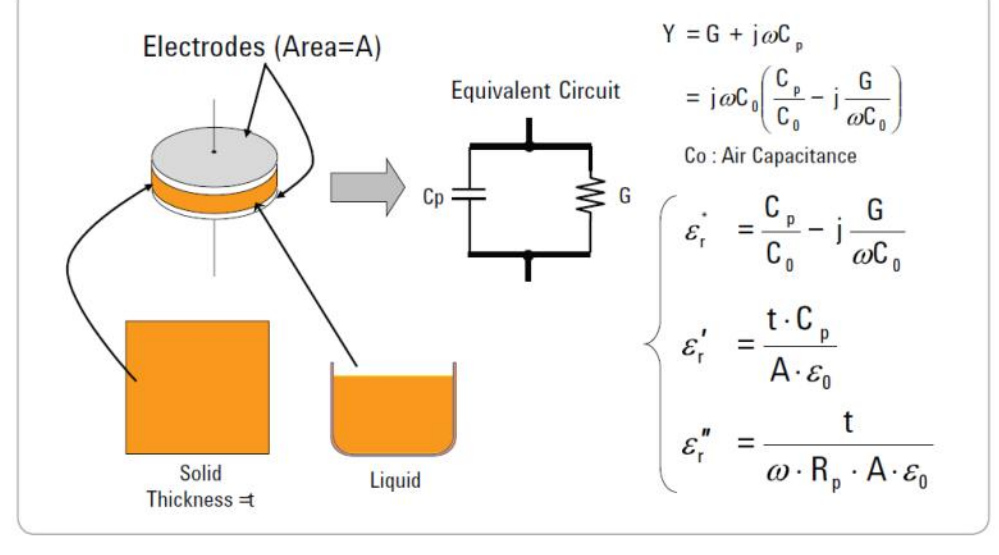
Остнастка для измерителя LCR и импеданса



Совместимость анализаторов импеданса и остнастки

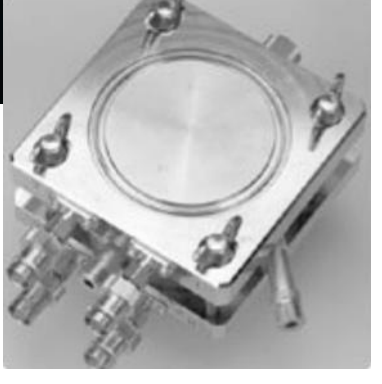
		PNA	ENA	FieldFox	E4991A	4294A	E4980A	4285A	
16451B	Остнастка для диэлектриков					*	*	*	Параллельные пластины
16452A	Остнастка для жидкостей					*	*	*	Параллельные пластины
16453A	Остнастка для диэлектриков				*				Параллельные пластины
16454A	Остнатка на основе торроидального сердечника				*	*			Индуктивный метод

Измерение методом конденсатора





4294A c 16451A



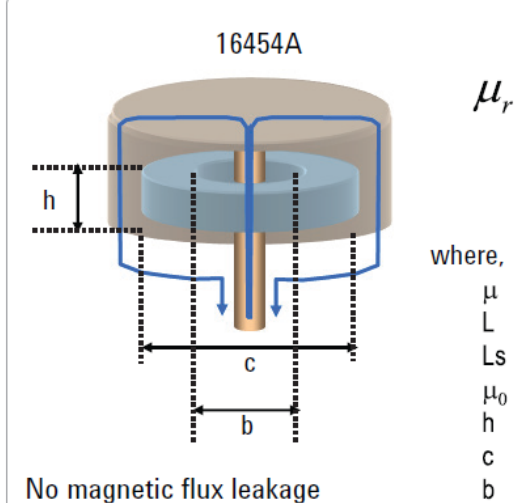
16452А Для жидкостей



E4991A c 16453A

Измерение методом индуктивности





,, –	$L-L_S$	2π
$\mu_r =$	μ_0	$h \cdot \ln \left(\frac{c}{b}\right)$
		(b)

relative permeability

measured inductance with MUT measured inductance without MUT

permeability of free space

height of MUT (Material Under Test)

outer diameter of MUT

inner diameter of MUT

Решения на базе анализатора цепей



Совместимость анализаторов цепей и остнастки

		PNA	ENA ¹	FieldFox1	E4991A	4294A	E4980A	4285A	
85070E	Диэлектрический пробник	*	*	*	*				Коаксиальный пробник
85071E	ПО измерения параметров материалов	*	*	*					Линия передачи
85071E-100 (200)	Калибровка в свободном пространстве	*	*						Открытая линия передачи
85071E-300	Приложение для работы с резонатором	*	*	*					Объёмный разонатор
85071E-E##	Несоставной диэлектрический резонатор	*	*	*					Объёмный разонатор
85072A	10GHz Составной цилиндрический резонатор	*	*						Объёмный разонатор

¹ Не все модели ENAs или FieldFox поддерживаются Доп. сведения в http://na.tm.agilent.com/materials/docs/SupportedVNAs.pdf

Модели пересчёта параметра передачи в 85071Е

Алгоритм	Измеряемые S-параметры	Результат
Nicolson-Ross	S11, S21, S12, S22	ϵ_{r} и μ_{r}
NIST Precision	S11, S21, S22	$\epsilon_{\rm r}$
Fast Transmission	S21, S12	$\epsilon_{\rm r}$
Poly Fit 1	S11, S21, S12, S22	ϵ_{r} и μ_{r}
Poly Fit 2	S12, S21	$\epsilon_{ m r}$
Stack Two	S21, S12 (2 образца)	ε _r и μ _r

Модели пересчёта параметра передачи в 85071Е

Алгоритм	Измеряемые S-параметры	Результат
Nicolson-Ross	S11, S21, S12, S22	${f \epsilon}_{r}$ и ${f \mu}_{r}$
NIST Precision	S11, S21, S22	$\epsilon_{ m r}$
Fast Transmission	S21, S12	$\epsilon_{\rm r}$
Poly Fit 1	S11, S21, S12, S22	ϵ_{r} и μ_{r}
Poly Fit 2	S12, S21	$\epsilon_{\rm r}$
Stack Two	S21, S12 (2 образца)	${f \epsilon}_{r}$ и ${f \mu}_{r}$

Модели пересчёта параметра отражения в 85071Е

Алгоритм	Измеряемые S-параметры	Результат
Short Backed	S11	$\epsilon_{ m r}$
Arbitrary Backed	S11	$\epsilon_{ m r}$
Single Double Thickness	S11 (2 образца)	ϵ_{r} и μ_{r}

Обзор методов

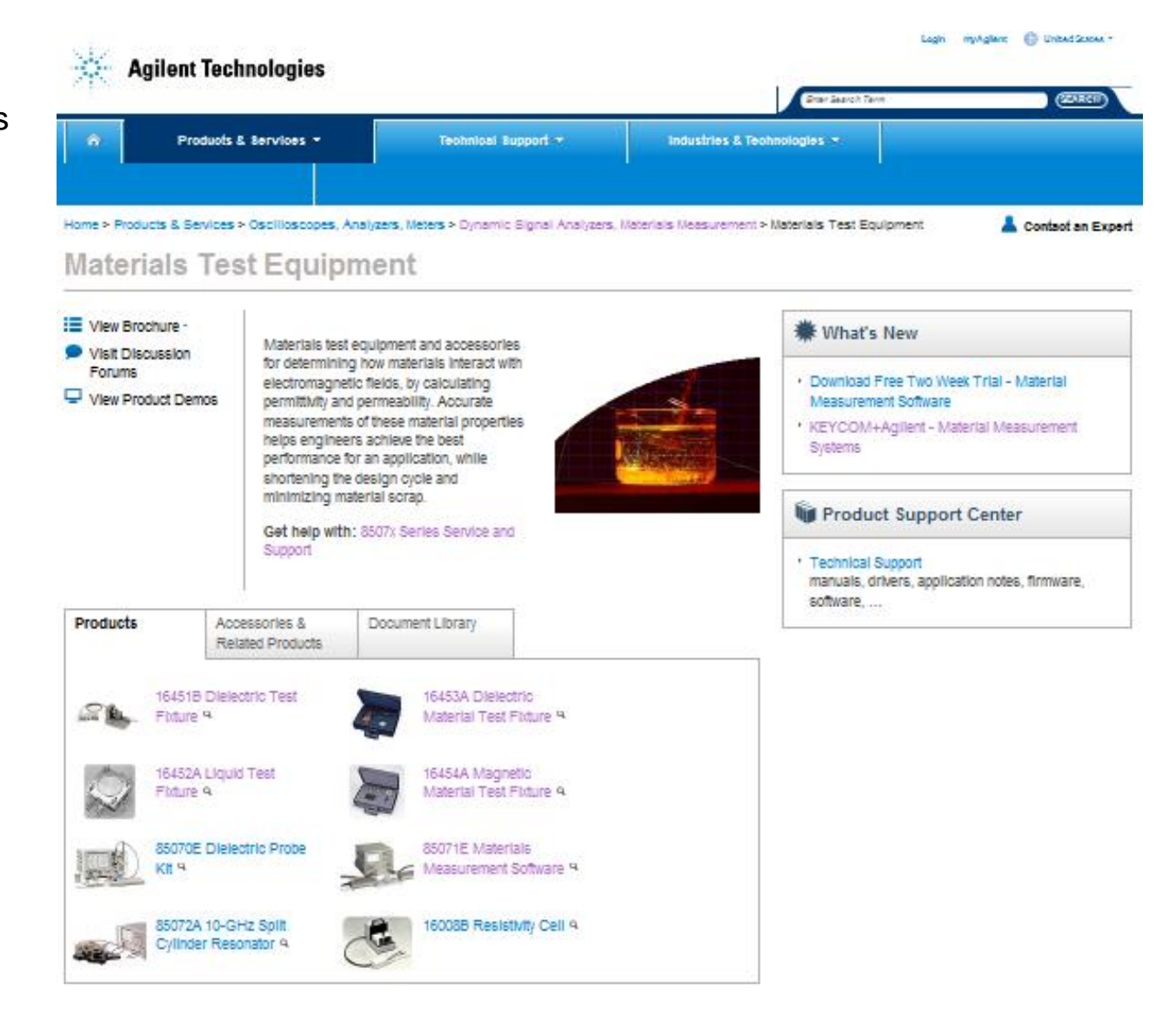
Coaxial Probe $\varepsilon_{\rm r}$	Broadband, convenient, non-destructive Best for lossy MUTs; liquids and semi-solids
Transmission Line ε_r and μ_r	Broadband Best fpr lossy to low loss MUTs; machineable solids
Free Space ε_{r} and μ_{r}	Broadband; Non-contacting Best for flats sheets, powders, high temperatures
Resonant Cavity $\varepsilon_{\rm r}$	Single frequency; Accurate Best for low loss MUTs; small samples
Parallel Plate $\varepsilon_{\rm r}$	Accurate Best for low frequencies; thin, flat sheets
Inductance measurement μ_r	Accurate, simple measurement, a toroidal core sturcture is required

Пример измерений свойств нефти



Ресурсы

Страница на сайте www.agilent.com/find/materials



Планы развития 8507хЕ

Q1 2013

E07.01

Новый интерфейс пользователя

- Больше окон, трасс, маркеров и функций маркеров
- Математика и статистика.

New Опция 400 with опортовые рения.

Q3 2013

E07.02

Интерполяция калибровки в серии PNA

Больше не требуются права администратора.

Работа в Offline режиме

Опция 400 Импорт и отображение Sпараметров Q1 2014

E2014.01

COMING SOON!

Возвращение таблицы с данными!

Генератор отчётов

Опция 400 – работа в многоканальном режиме

Q3 2014

E2014.02

85071E Калькулятор длины образца регистрация данных

85071E-300

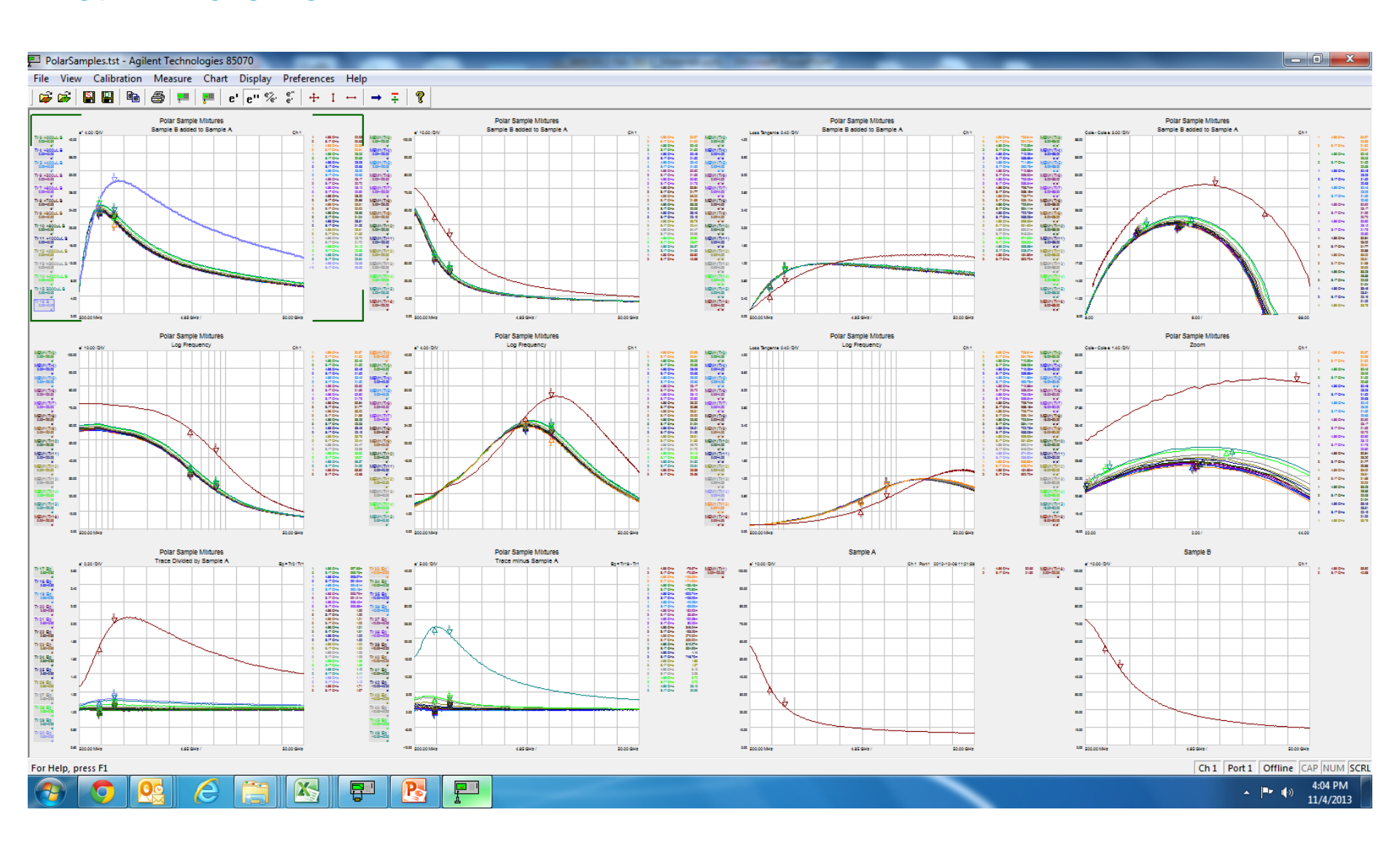
- Управление SPDR
- ASTM калькулятор частоты резонатора

Поддержка Windows 8

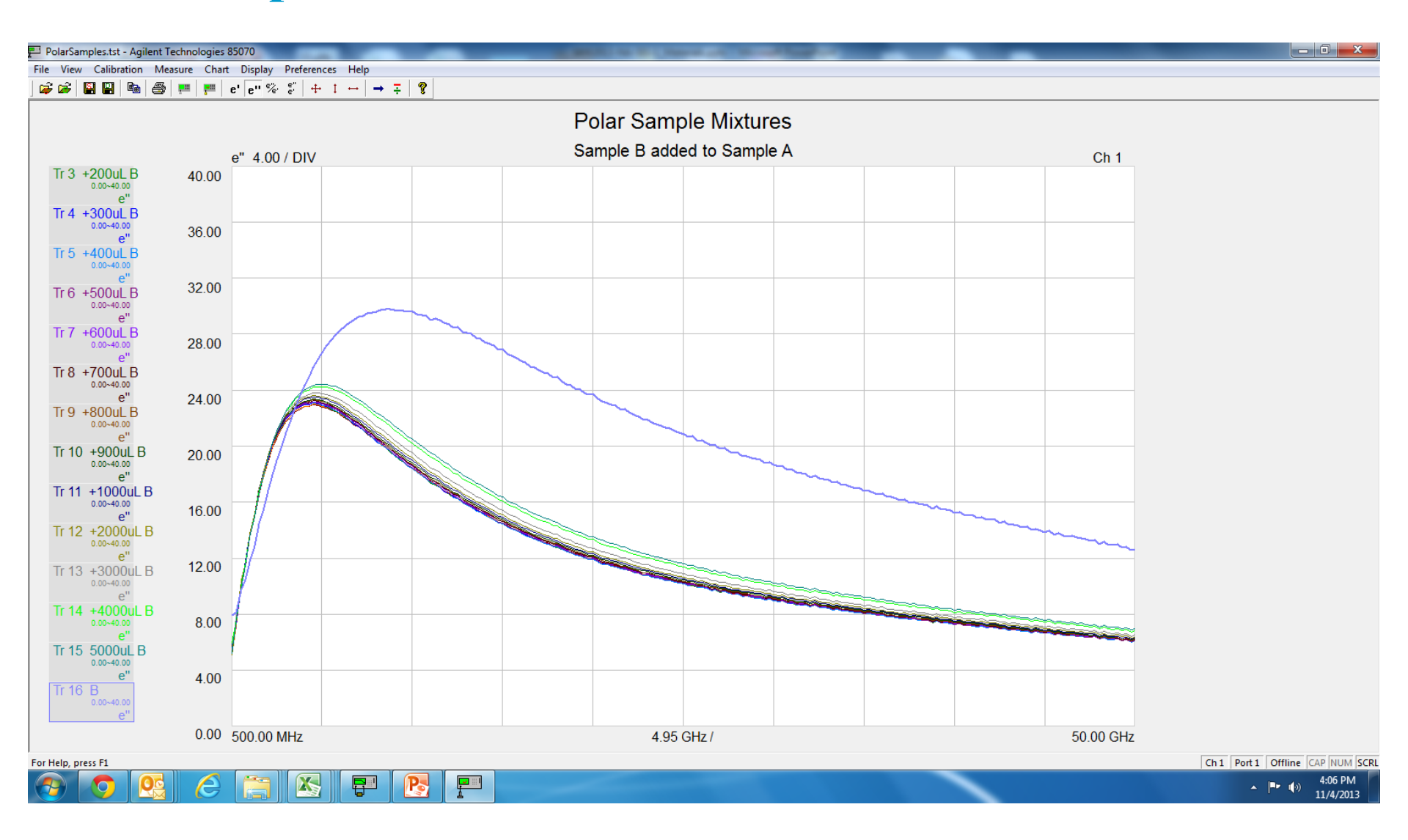
Поддержка новых моделей ВАЦ



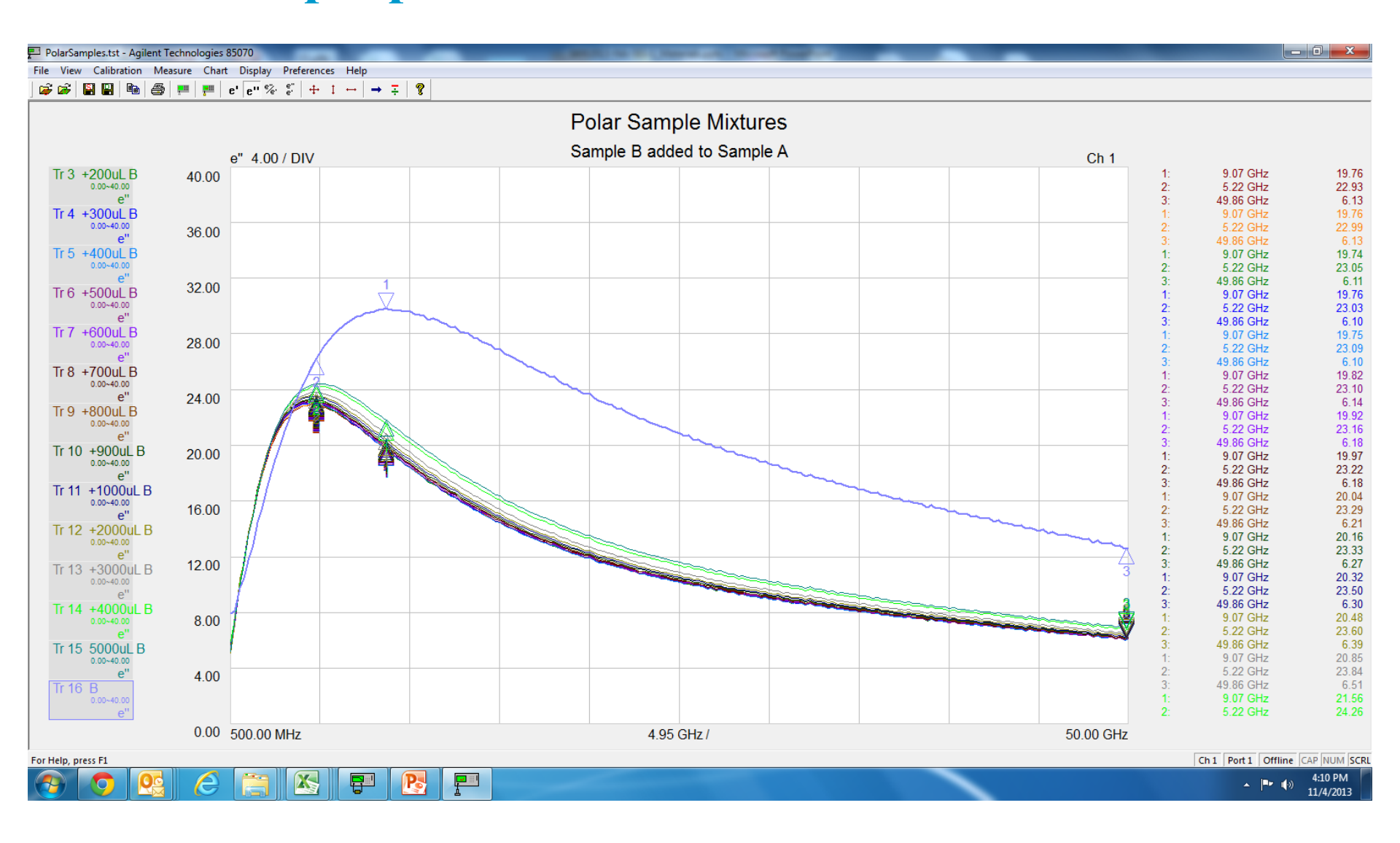
Больше окон



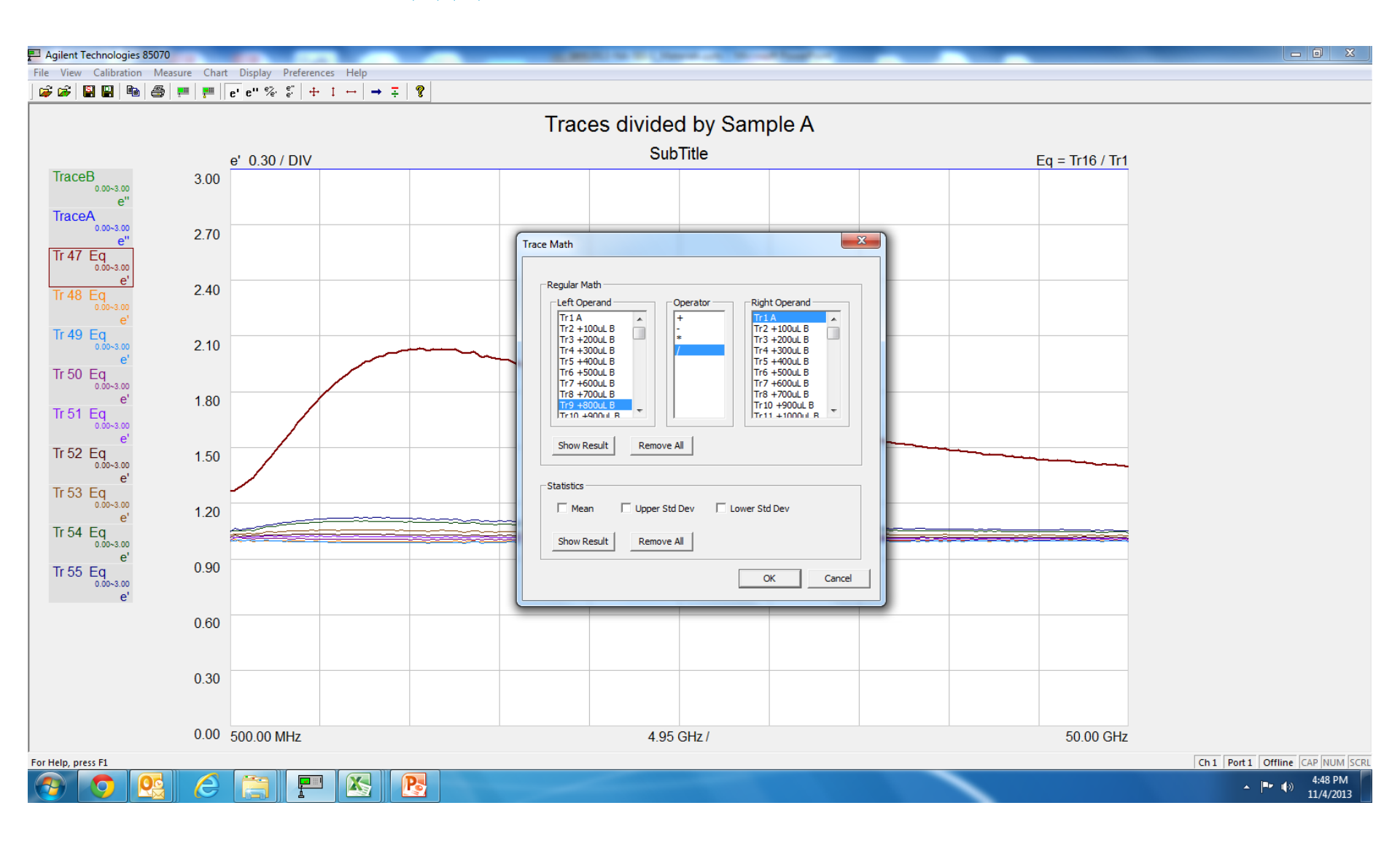
Больше трасс



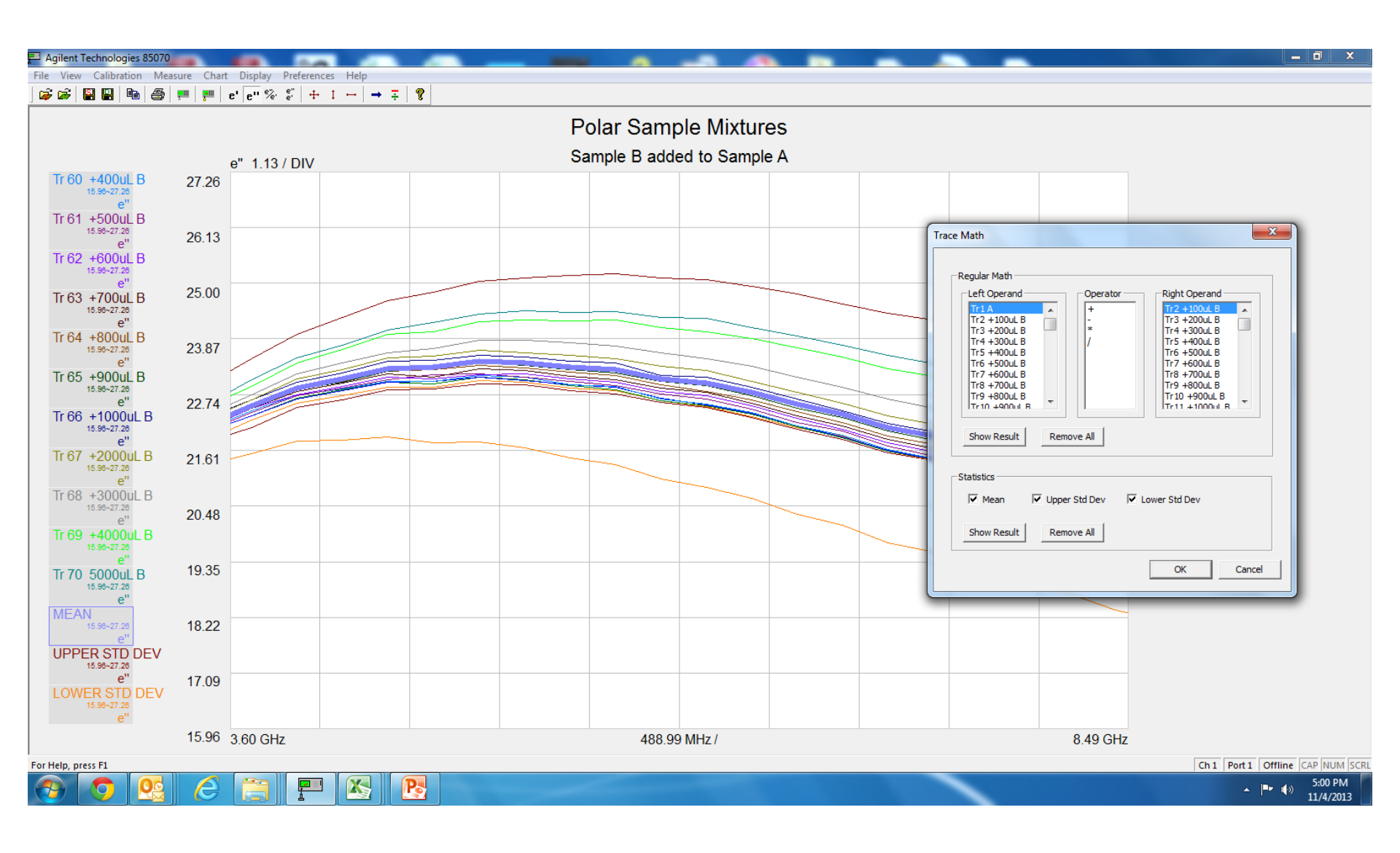
Больше маркеров



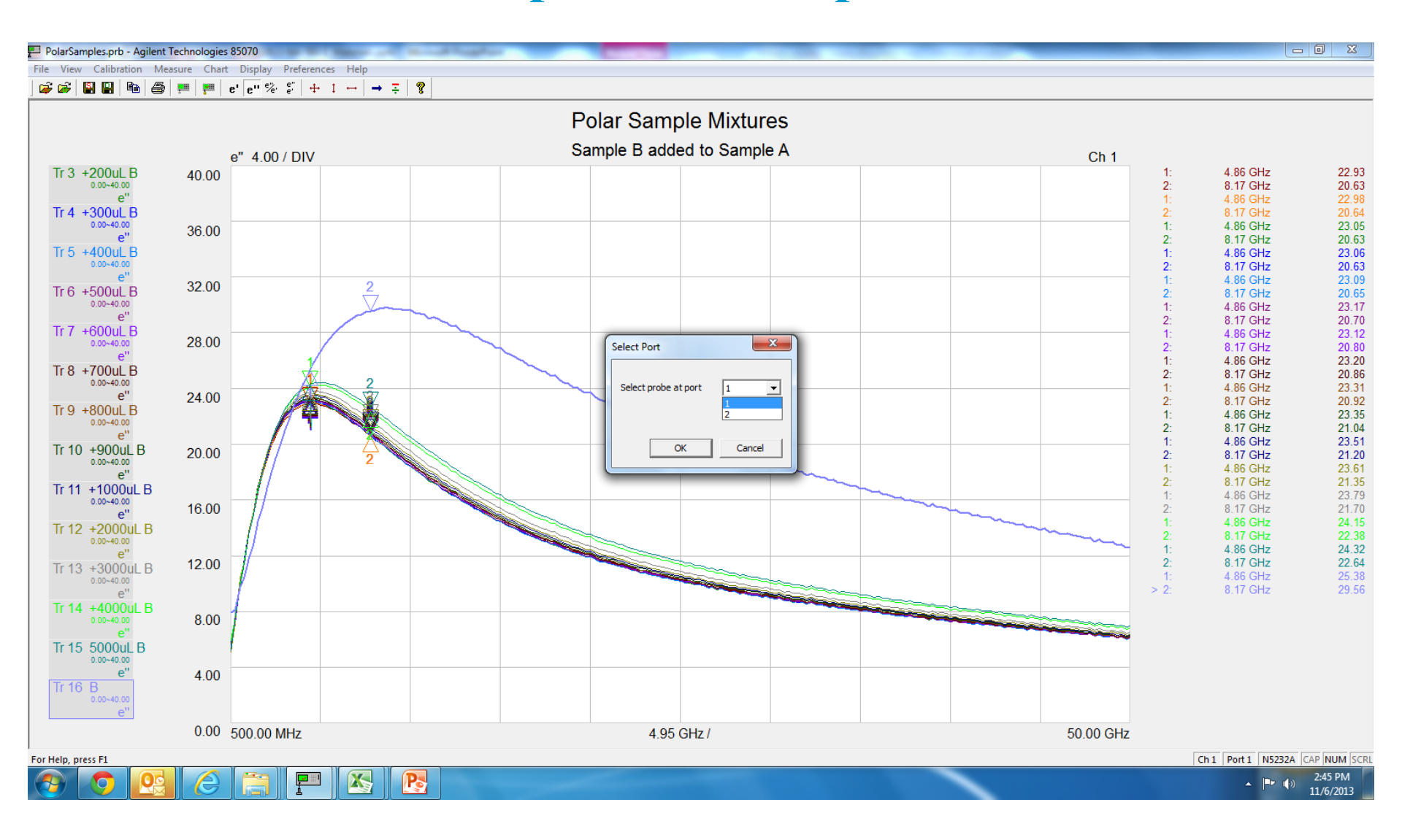
Математика над данными



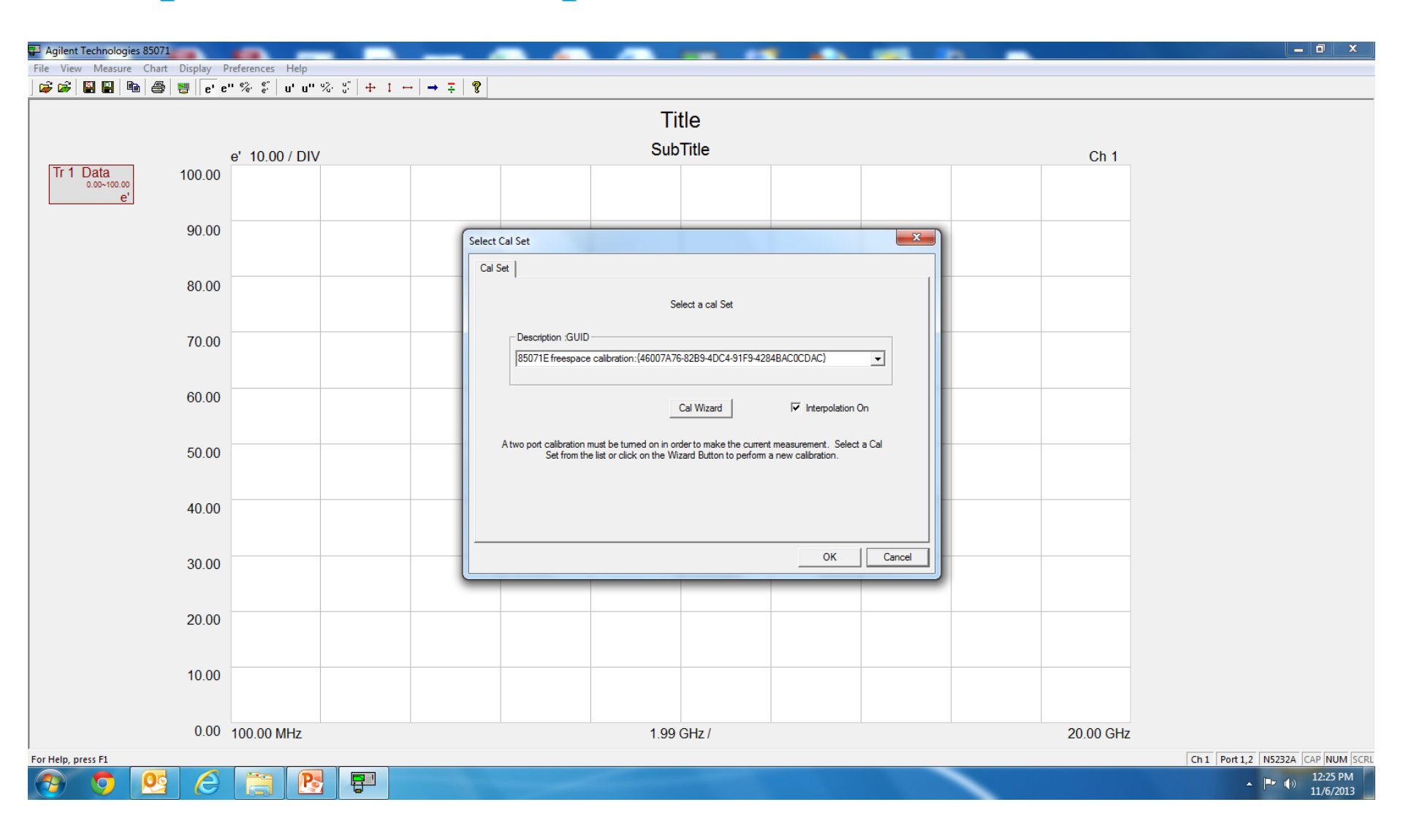
Статистика



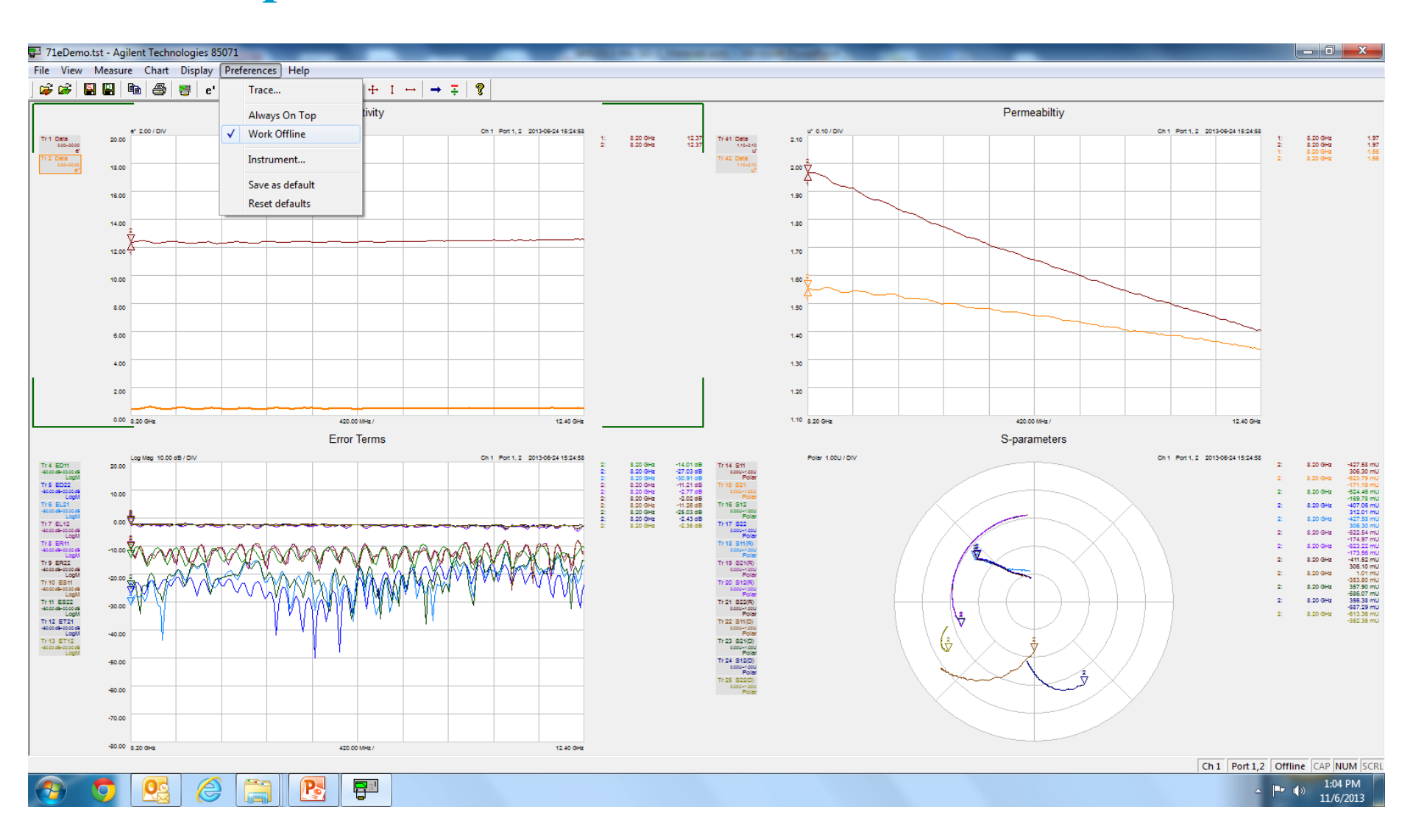
Опция 400 Многопортовые измерения



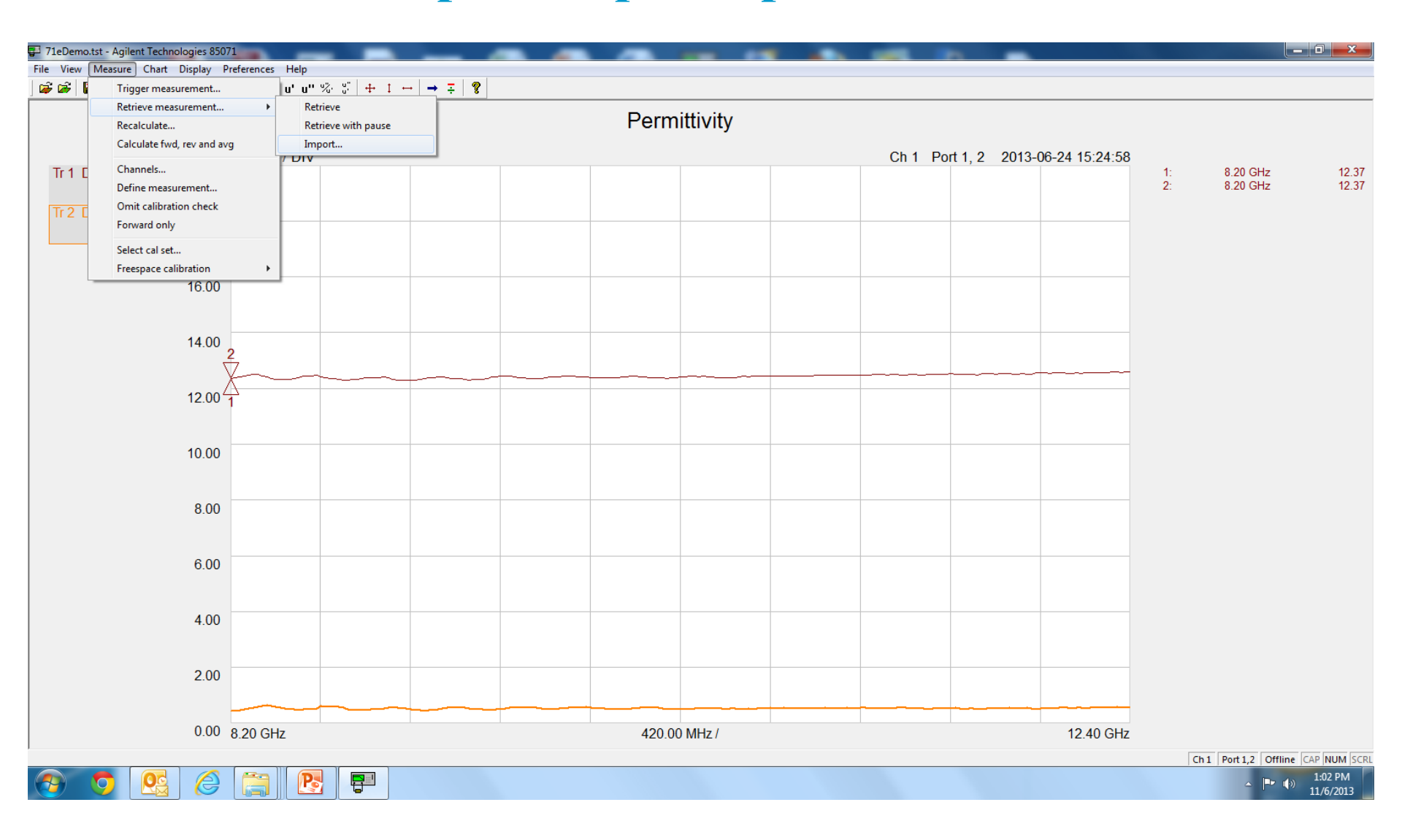
Интерполяция калибровки



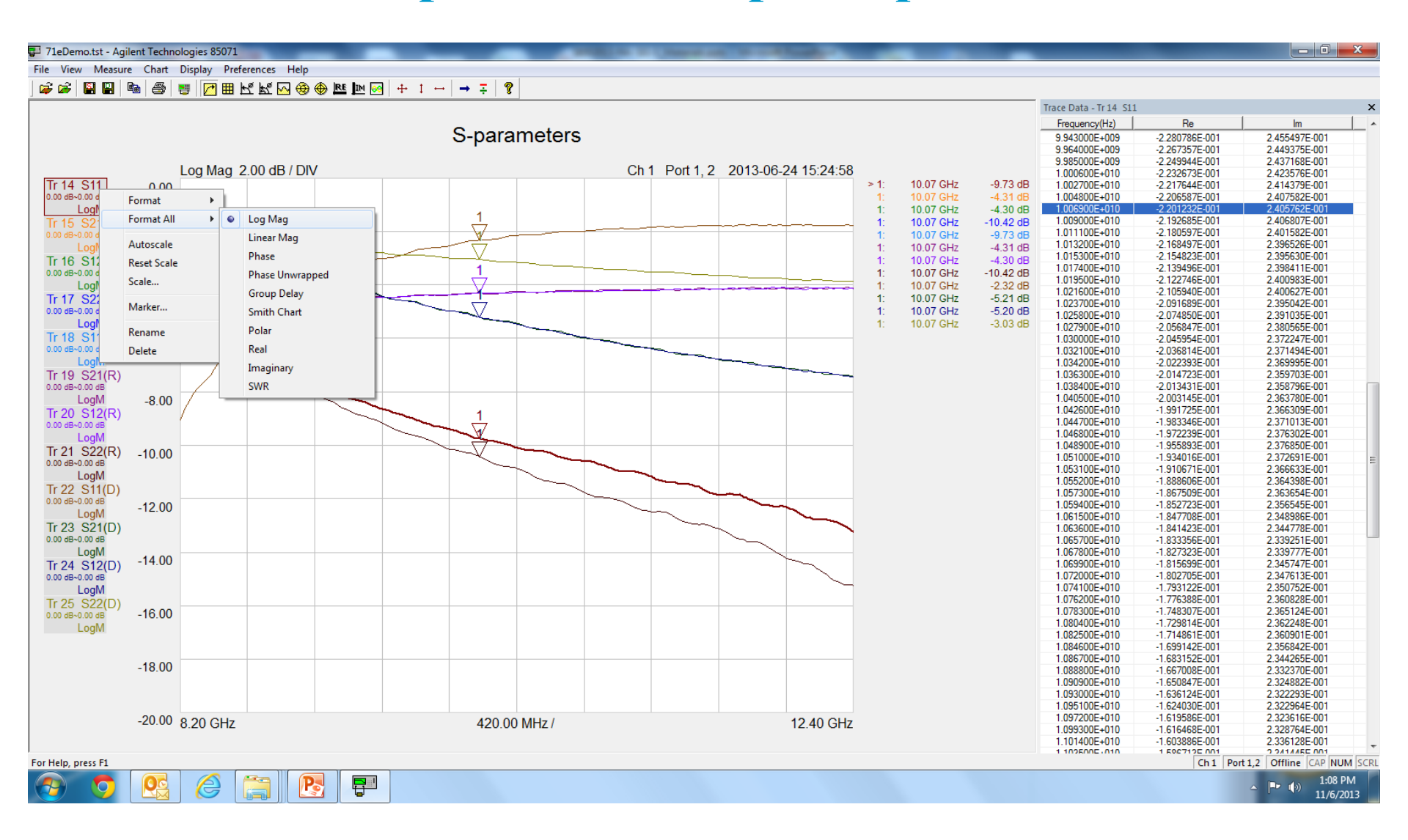
Работа в режиме offline



Опция 400 импорт S-параметров



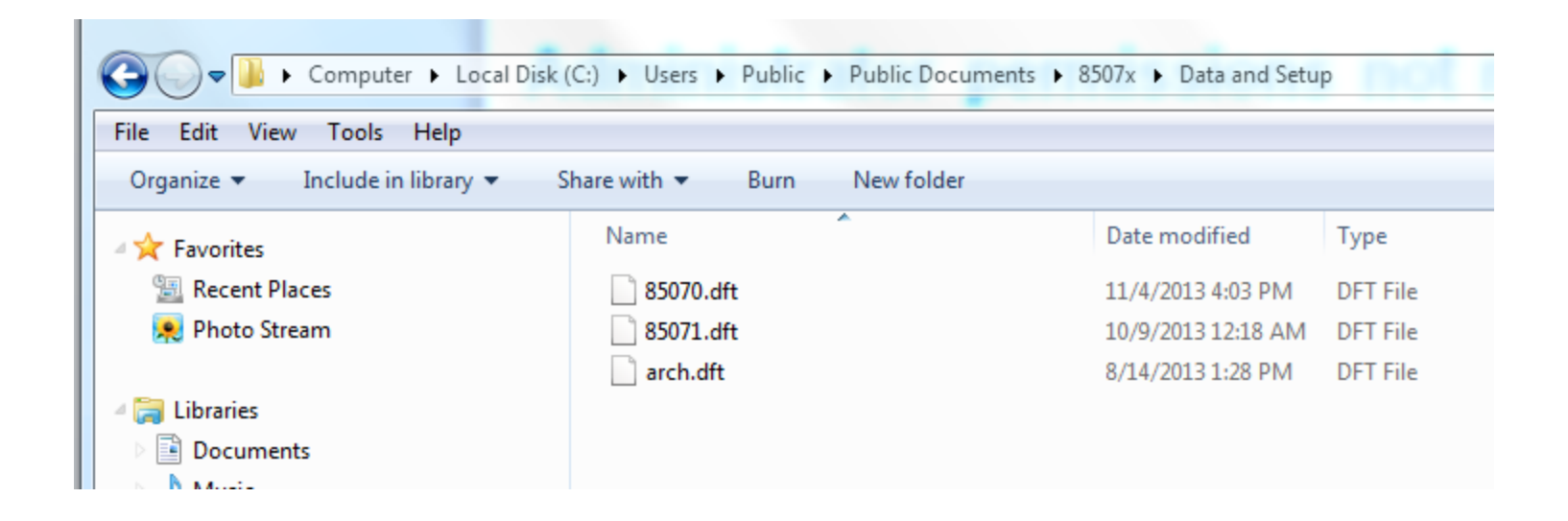
Опция 400 отображение S-параметров



Не требуются права администратора

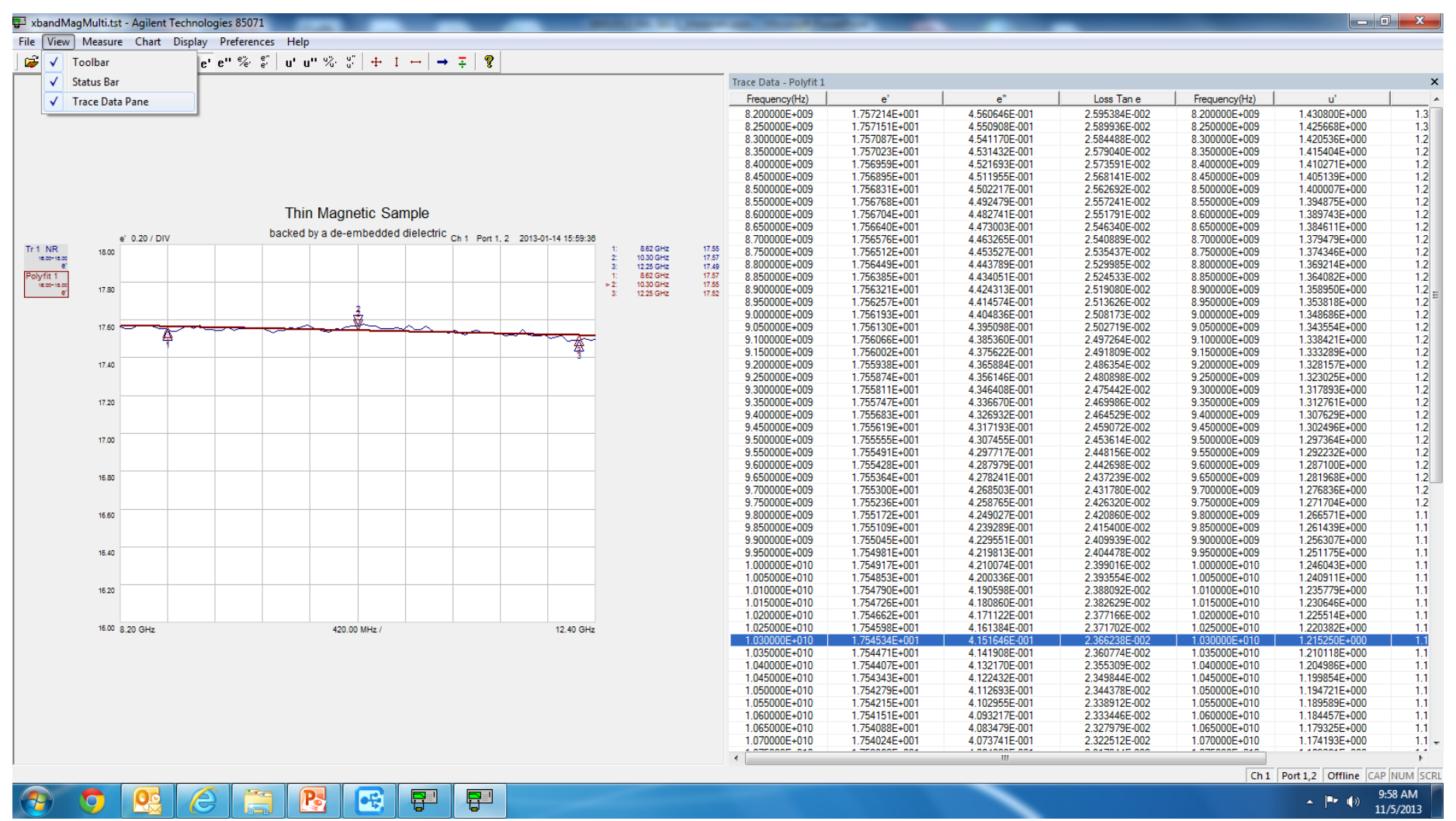
Файлы установки по умолчанию перемещены

- Для Windows 7 (32bit), Windows XP и предыдущих версий:
 C:\Documents and Settings\All Users\Documents\8507x\Data and Setup
- Для Windows 7 (64bit)
 C:\Users\Public\Public Documents\8507x\Data and Setup





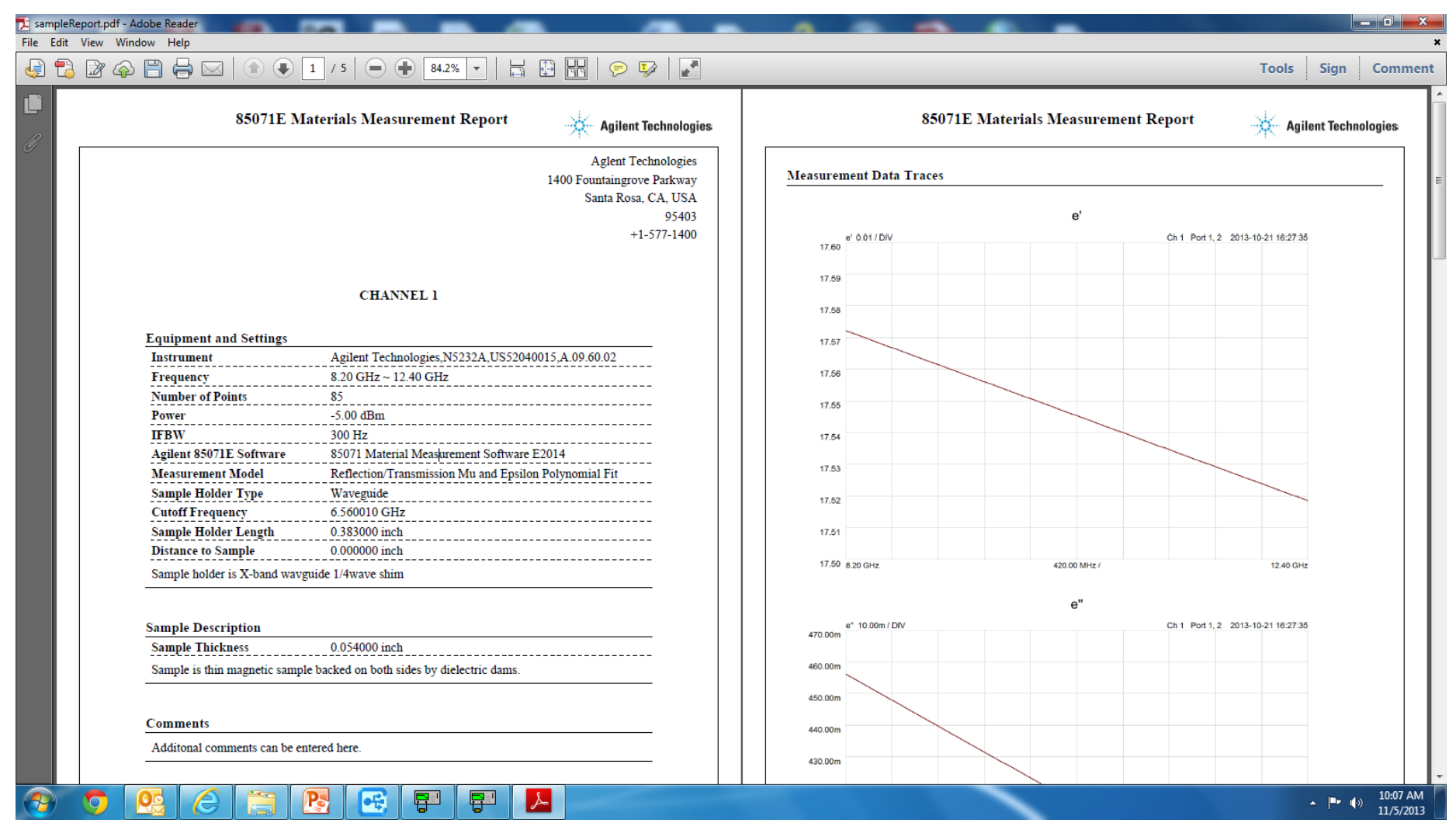
Табличный вид





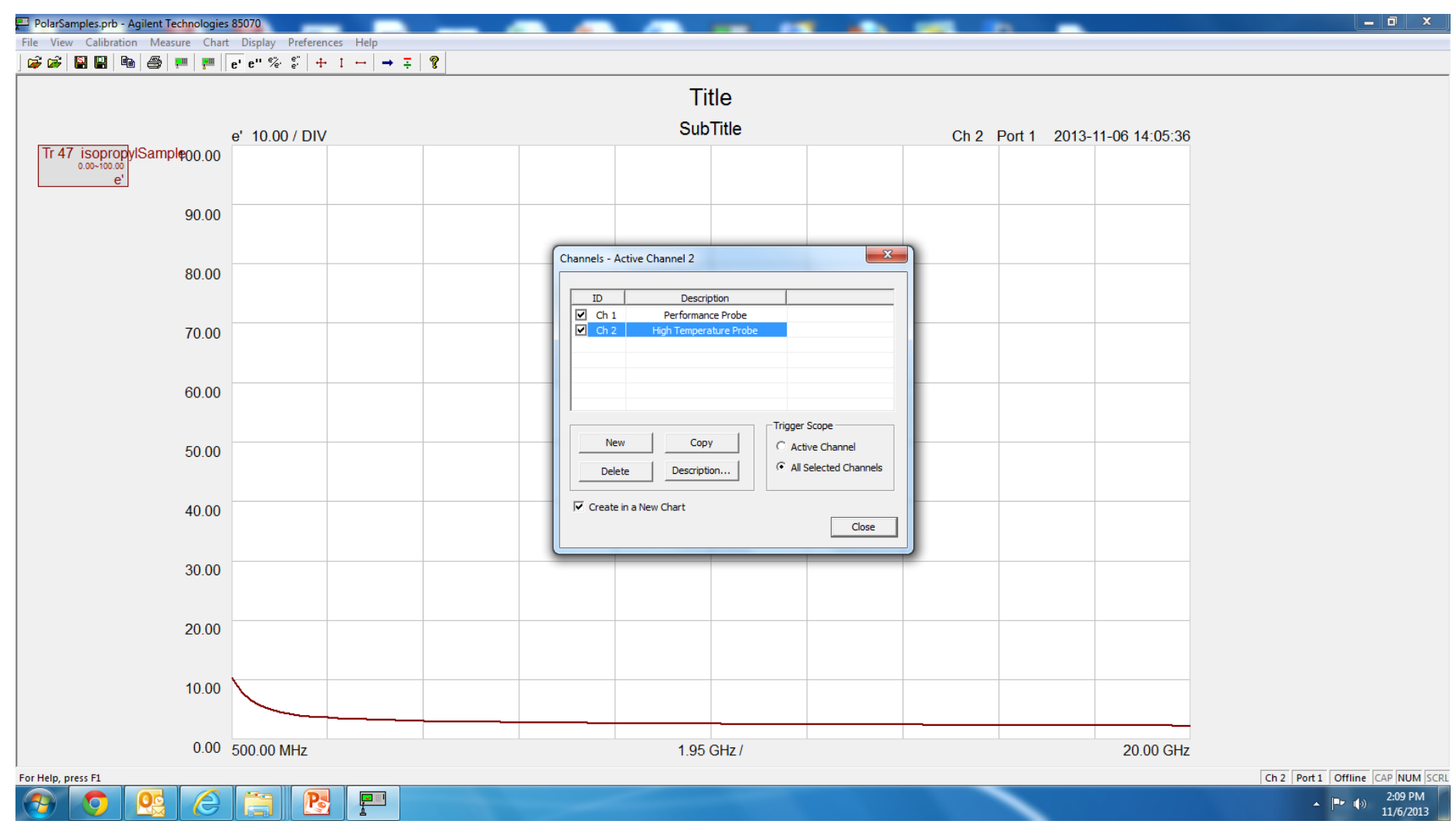


Генератор отчётов





Опция 400 Многоканальный режим



Ссылки

R N Clarke (Ed.), "A Guide to the Characterisation of Dielectric Materials at RF and Microwave Frequencies," Published by The Institute of Measurement & Control (UK) & NPL, 2003

J. Baker-Jarvis, M.D. Janezic, R.F. Riddle, R.T. Johnk, P. Kabos, C. Holloway, R.G. Geyer, C.A. Grosvenor, "Measuring the Permittivity and Permeability of Lossy Materials: Solids, Liquids, Metals, Building Materials, and Negative-Index Materials," NIST Technical Note 15362005

"Test methods for complex permittivity (Dielectric Constant) of solid electrical insulating materials at microwave frequencies and temperatures to 1650°, "ASTM Standard D2520, American Society for Testing and Materials

Janezic M. and Baker-Jarvis J., "Full-wave Analysis of a Split-Cylinder Resonator for Nondestructive Permittivity Measurements," IEEE Transactions on Microwave Theory and Techniques vol. 47, no. 10, Oct 1999, pg. 2014-2020

J. Krupka, A.P. Gregory, O.C. Rochard, R.N. Clarke, B. Riddle, J. Baker-Jarvis, "Uncertainty of Complex Permittivity Measurement by Split-Post Dielectric Resonator Techniques," Journal of the European Ceramic Society No. 10, 2001, pg. 2673-2676

"Basics of Measureing the Dielectric Properties of Materials". Agilent application note. 5989-2589EN

AM. Nicolson and G. F. Ross, "Measurement of the intrinsic properties of materials by time domain techniques," *IEEE Trans. Instrum. Meas.*, IM-19(4), pp. 377-382, 1970.

Improved Technique for Determining Complex Permittivity with the Transmission/Reflection Method, James Baker-Jarvis et al, IEEE transactions on microwave Theory and Techniques vol 38, No. 8 August 1990

P. G. Bartley, and S. B. Begley, "A New Technique for the Determination of the Complex Permittivity and Permeability of Materials *Proc. IEEE Instrument Meas. Technol. Conf.*, pp. 54-57, 2010.